

직선집속 PVDF 초음파트랜스듀서의 제작과 응용

II. 누설탄성표면파 측정에서의 응용

윤혁준*, 하강열**, 김무준**

(* 부경대학교 대학원 음향진동공학과, ** 부경대학교 물리학과)

Fabrication of PVDF Line Focus Ultrasonic Transducer and its Application

II. Application to LSAW Measurement

Hyuck-joon Yoon*, Kang-lyeol Ha**, Moo-joon Kim**

(* Dept. of Acous. & Vib. Eng. in P.K.N.U., **Dept. of Phys. in P.K.N.U.)

요약

제작되어진 LFB PVDF 초음파트랜스듀서를 이용하여 누설탄성표면파(Leaky Surface Acoustic Wave : LSAW)측정을 하였다. 시료로서는 SiO₂, Al, Cu등을 사용하였고, 측정방법으로써는 초점면에 위치한 시료를 트랜스듀서 쪽으로 접근시켰을 때 LSAW가 트랜스듀서의 중심축을 통과한 후 시료표면에서 반사되어오는 종파와 분리되어지는 현상을 이용하였다. 실험결과는 Campbell and Jones¹⁾의 이론에 의한 해석결과와 비교 분석하였는데 매우 잘 일치됨을 알 수 있었다.

1. 서론

임의의 고체시료와 물이 경계를 이루고 있을 때 그 시료면을 따라서 LSAW의 전파가 가능하게 된다. 이 LSAW 측정의 한 방법으로써 초음파현미경(Scanning Acoustic Microscope : SAM)이 이용되어지고 있다. 반사형 초음파현미경에 있어서, 음향렌즈와 고체 시료사이의 거리(z)를 변화시키면 트랜스듀서의 출력은 시료에 따라 특유한 곡선 형상을 나타내는데, 이것을 V(z)곡선이라고 부른다. 1979년 Weglein은, V(z)곡선에 나타나는 주기적 극소의 간격(Δz)이 액체/고체 경계면을 전파하는 LSAW의 위상속도에 관계되는 것을 지적했다²⁾. 이어서, Parmon이나 Atalar등은 간섭현상에 의한 모델을 설정하여 주기적 극소의 간격과 LSAW의 위상속도와의 관계를 이론적으로 정식화했다.^{3,4)}

V(z)곡선에 의한 LSAW의 속도측정은 고체, 특히 전자재료의 탄성적 성질을 평가하는데 매우 유용하게 사용

되어지고 있는데, 이러한 응용에 있어서는 주로 직선집속빔(Line-Focus Beam : LFB) 초음파트랜스듀서를 이용한다⁵⁾. LFB 초음파트랜스듀서는 LSAW를 한쪽 방향으로만 여진시키기 때문에 재료의 탄성적 이방성(Anisotropy)이 포함된 LSAW의 속도를 정량적으로 나타낼 수가 있다.

이러한 V(z)곡선은 시료의 표면을 따라 전파한 과음향렌즈의 중심을 통과한 후 시료면에서 직접 반사한 종파의 2개의 파성분의 간섭에 의해 형성되는 것이다. 따라서 두개의 파가 중첩되어야 하며, 그 해석에는 다소 시간이 소요되는 결점이 있다. 본 논문에서 PVDF LFB트랜스듀서가 만드는 짧은 파를 이용하여 그 두 파성분을 시간적으로 분리함으로써 표면파 전파의 모습을 가시적으로 관찰하면서 그 속도를 측정하였다.

2. LSAW 전파 이론

그림 1과 같이 결정과 물이 경계를 이루고 있을 때 탄성 표면파의 이론적인 계산은 결정에서의 응력과 입자속도, 물에서의 응력과 입자속도를 유도하여 경계에서 응력과 입자속도가 연속이 되는 조건을 만족시킴으로써 구할 수가 있다.

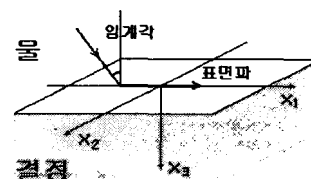


그림 1. 물과 결정의 경계면

이방성결정에 대해 회전시킬 때 방향에 따라 탄성계수들의 값이 바뀌게 되어 결정의 좌표축을 변환해야 하므로 텐서 변환에 의해 식 (1)처럼 c'_{ijkl} 로 정의 된다.

$$c'_{ijkl} = T_{im} T_{jn} T_{ko} T_{lp} c_{mnop} \quad (1)$$

이렇게 변환된 c' 역시 6×6 의 대칭행렬로 나타내어지고, c' 을 이용한 응력과 변형(strain)의 관계식은 식 (2)와 같이 쓸 수 있다.

$$T = c' : S \quad (2)$$

여기서 입자변위를 식 (3)와 같이 가정하고 응력에 대한 운동방정식 식 (4)을 도입하여 식 (2)를 각각의 입자 변위에 대해 전개하면 식 (5), (6), (7)과 같이 구해진다.

$$U_i = u_i \exp[jk(x_1 + \alpha x_3 - ct)] \quad (3)$$

$$\rho \frac{\partial^2 U_i}{\partial t^2} = \frac{\partial T_{ij}}{\partial x_j} \quad (4)$$

$$-\rho \omega^2 u_1 = -k^2 [c'_{11} + c'_{55} \alpha^2 + 2c'_{15} \alpha] u_1 - k^2 [c'_{16} + c'_{45} \alpha^2 + (c'_{14} + c'_{56}) \alpha] u_2 - k^2 [c'_{15} + c'_{35} \alpha^2 + (c'_{13} + c'_{55}) \alpha] u_3 \quad (5)$$

$$-\rho \omega^2 u_2 = -k^2 [c'_{16} + c'_{45} \alpha^2 + (c'_{14} + c'_{56}) \alpha] u_1 - k^2 [c'_{66} + c'_{44} \alpha^2 + 2c'_{46} \alpha] u_2 - k^2 [c'_{56} + c'_{34} \alpha^2 + (c'_{36} + c'_{45}) \alpha] u_3 \quad (6)$$

$$-\rho \omega^2 u_3 = -k^2 [c'_{15} + c'_{35} \alpha^2 + (c'_{13} + c'_{55}) \alpha] u_1 - k^2 [c'_{56} + c'_{34} \alpha^2 + (c'_{36} + c'_{45}) \alpha] u_2 - k^2 [c'_{55} + c'_{33} \alpha^2 + 2c'_{35} \alpha] u_3 \quad (7)$$

양변을 k^2 으로 나누고 행렬로 표현하면 식 (8)과 같이 나타낼 수 있다.

$$\begin{pmatrix} M \end{pmatrix} \begin{pmatrix} u_1 \\ u_2 \\ u_3 \end{pmatrix} = 0 \quad (8)$$

여기서 u_i 가 자명한 해를 갖지 않기 위해서는 M 의 행렬식이 0가 되어야 한다. 따라서 행렬식을 정리해 보면 식 (9)와 같이 α 에 대한 6차 방정식이 만들어진다.

$$A_1 \alpha^6 + A_2 \alpha^5 + A_3 \alpha^4 + A_4 \alpha^3 + A_5 \alpha^2 + A_6 \alpha + A_7 = 0 \quad (9)$$

이 방정식의 해를 $\{\alpha(j), j = 1 \sim 6\}$ 라고 하자. 식 (3)의 입자 변위 U_i 에 대한 정의에서 고체 매질 내에서 표면파는 x_3 축을 따라 감쇄하는 성분을 가지므로 $x_3 \rightarrow \infty$ 일 때 0으로 수렴해야 한다. 이 조건을 만족하기 위해서는 감쇄계수 $\{\alpha(j), j = 1 \sim 6\}$ 의 허수 부분이 양의 값을 가져야 하므로 여기서 구해진 해들 중에서 허수부분이 양의 값을 갖는 해를 취한다. 그 양의 값을 갖는 α 를 $\alpha(1), \alpha(2), \alpha(3)$ 로 정하고 이들 해의 합으로 나타내어지는 입자변위 U_i 는 각각의 $\{\alpha(j), j = 1, 2, 3\}$ 에 해당하는 변위 진폭 $\{u_i(j), i, j = 1, 2, 3\}$ 들의

합으로 표현될 수 있다. 여기서 $u_2(j), u_3(j)$ 를 $u_1(j)$ 에 대한 비로 나타내어 $u_1(j)$ 만으로 표현할 수 있는데 각 변위 진폭의 비 ($F_{12}(j), F_{13}(j), j=1, 2, 3$)는 각각 식 (10), (11)과 같이 정의된다.

$$F_{12}(j) = \frac{u_2(j)}{u_1(j)} = \frac{a(j)d(j) - e(j)f(j)}{b(j)e(j) - d(j)f(j)} \quad (10)$$

$$F_{13}(j) = \frac{u_3(j)}{u_1(j)} = \frac{a(j)d(j) - e(j)f(j)}{c(j)f(j) - d(j)e(j)} \quad (11)$$

단, $a(j) = M_{11}(j), b(j) = M_{22}(j), c(j) = M_{33}(j),$

$$d(j) = M_{23}(j), e(j) = M_{13}(j), f(j) = M_{12}(j)$$

다음으로 경계조건에 필요한 결정 경계면($x_3=0$)에서의 응력을 유도하기 위해 x_1-x_2 면상에서 수직으로만 작용하는 응력만을 다시 간추려보면 결정경계면에 작용하는 응력 텐서들을 구할 수 있다. 여기에 $u_1(j)$ 로 표현된 입자 변위 U_1, U_2, U_3 를 대입하여 다시 정리하면 $u_1(j)$ 과 $F_{12}(j), F_{13}(j)$ 로 표현되는 결정면에서의 응력을 구할 수가 있다.

물에서의 입자변위는 결정에서와 동일한 형식으로 식 (12)처럼 가정하여 정의할 수 있다.

$$U^*_1 = u^*_1 \exp[jk(x_1 + \beta x_3 - ct)]$$

$$U^*_2 = 0 \quad (12)$$

$$U^*_3 = u^*_3 \exp[jk(x_1 + \beta x_3 - ct)]$$

따라서 운동방정식 식 (4)에 대입하면 식 (13), (14)와 같이 유도할 수 있다.

$$-\rho_w \omega^2 U^*_1 = -c^*_{11} (k^2 U^*_1 + k^2 \beta U^*_3) \quad (13)$$

$$-\rho_w \omega^2 U^*_3 = -c^*_{11} (k^2 \beta U^*_1 + k^2 \beta^2 U^*_3) \quad (14)$$

식 (13)과 (14)를 행렬로 나타내면 식 (15)가 되고, 여기서 $\text{Det} = 0$ 이라고 됨으로써 β 를 구할 수 있다.

$$k^2 \begin{pmatrix} c^*_{11} - \rho_w v_{isaw}^2 & c^*_{11} \beta \\ c^*_{11} \beta & c^*_{11} \beta^2 - \rho_w v_{isaw}^2 \end{pmatrix} \begin{pmatrix} U^*_1 \\ U^*_3 \end{pmatrix} = 0 \quad (15)$$

$$\beta = \sqrt{\frac{\rho_w v_{isaw}^2}{c^*_{11}} - 1}, \quad \text{물에서의 음속은 } v_w = \sqrt{\frac{c^*_{11}}{\rho_w}}$$

$$\beta = \sqrt{\frac{v_{isaw}^2}{v_w^2} - 1}, \quad v_{isaw} \text{는 누설탄성표면파의 속도}$$

식 (15)의 행렬로부터 U^*_3 를 U^*_1 의 비로 나타내면

$$F^*_{13} = \frac{\rho_w v_{isaw}^2 - c^*_{11}}{c^*_{11} \beta} \quad (16)$$

식 (16)과 같이 되는데 β 를 이용하여 풀면 $F^*_{13} = \beta$

가 되어서 입자변위 U^* 는 식 (17)과 같이 u^*_1 으로 표현할 수 있다.

$$\begin{aligned} U^*_1 &= u^*_1 \exp[jk(x_1 + \beta x_3 - ct)] \\ U^*_2 &= 0 \\ U^*_3 &= F^*_{13} u^*_1 \exp[jk(x_1 + \beta x_3 - ct)] \end{aligned} \quad (17)$$

식 (17)에서 구해진 입자변위를 물의 경계면에 작용하는 텐서 T^*_3 에 대입하여 정리하면 식 (18)을 구할 수 있다.

$$T^*_3 = jk\rho_w v_{lsaw}^2 u^*_1 \exp[jk(x_1 + \beta x_3 - ct)] \quad (18)$$

이상과 같이 구해진 결정에서의 입자변위, 응력텐서와 물에서의 입자변위, 응력텐서를 경계조건 $x_3=0$ 에서 같다고 두면 식(19)의 행렬로 나타냄으로써 N행렬을 구할 수 있다. N행렬의 A ~ I는 $F_{12}(j)$, $F_{13}(j)$ 와 탄성계수로 표현되어진다.

$$\begin{pmatrix} F_{13}(1) & F_{13}(2) & F_{13}(3) & -F^*_{13} \\ A & B & C & 0 \\ D & E & F & 0 \\ G & H & I & -\rho_w v_{lsaw}^2 \end{pmatrix} \begin{pmatrix} u_1(1) \\ u_1(2) \\ u_1(3) \\ u^*_1 \end{pmatrix} = 0 \quad (19)$$

$$\text{즉, } \begin{pmatrix} N \end{pmatrix} \begin{pmatrix} u_1(1) \\ u_1(2) \\ u_1(3) \\ u^*_1 \end{pmatrix} = 0$$

각 입자 속도가 자명해인 0 이외의 해를 가지기 위해서는 N의 행렬식이 0이 되어야 하므로 v_{lsaw} 와 α 의 값을 변화시켜가면서 행렬식이 0에 근사하는 값을 찾아 수치해석적으로 LSAW속도를 구할 수 있다.

3. Defocus에 의한 표면파 계산법

시료면을 트랜스듀서 쪽으로 defocus시키면 그림 2에서 나타낸 경로1(LSAW성분)과 경로2(직접반사성분)만이 실질적으로 트랜스듀서의 출력으로 나타나게된다. 매우 짧은 펄스의 음파를 사용하면 이 두 경로의 파는 전파속도 및 전파거리의 차에 의해 분리되는데, LSAW성분은 직접반사파와 반대되는 위상으로 직접반사파의 뒤에 나타나며 그 시간 간격은 defocus량에 비례하게된다. 따라서, 기하학적 해석으로 v_{lsaw} 를 구할 수 있다.

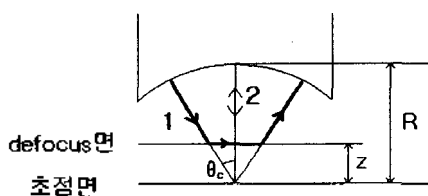


그림 2. 수신신호의 경로차

트랜스듀서에서 방사되어 음선경로 1로 트랜스듀서에 다시 입사하는데 걸리는 시간 t_s 는 식 (20)과 같이 계산이 되고, 결정면에 직접 반사되어 트랜스듀서로 입사하는 음선경로 2에 의해 걸리는 시간 t_w 는 식 (21)과 같

이 계산되어진다.

$$t_s = \frac{2(R - \frac{z}{\cos \theta_c})}{v_w} + \frac{2z \tan \theta_c}{v_{lsaw}} \quad (20)$$

$$t_w = \frac{2(R-z)}{v_w} \quad (21)$$

경로의 시간간격을 계산하면 식 (22)로 쓸 수 있고, Snell의 법칙($\sin \theta_c = \frac{v_w}{v_{lsaw}}$)으로부터 v_{lsaw} 는 식 (23)으로 유도 할 수 있다.

$$\Delta t = \frac{2(R - \frac{z}{\cos \theta_c})}{v_w} + \frac{2z \tan \theta_c}{v_{lsaw}} - \frac{2(R-z)}{v_w} \quad (22)$$

$$v_{lsaw} = \frac{v_w}{\sqrt{1 - (1 - \frac{\Delta t v_w}{2z})^2}} \quad (23)$$

식 (23)으로부터 $\frac{z}{\Delta t}$, 즉 $z - \Delta t$ 그래프에서의 기울기를 구할 수 있으면 쉽게 표면파속도를 계산할 수 있음을 알 수 있다.

4. 계산 및 측정 결과

각 시료에 대한 표면파 측정결과로서 표 1은 사용한 시료에 대해 실험 및 이론적으로 계산된 LSAW 속도를 정의하여 나타내었다. 그림 3, 그림 4, 그림 5는 SiO₂, Al, Cu시료에 대해 z=0.5mm간격으로 defocus시켰을 때의 측정치이다. 그림 6, 그림 7, 그림 8은 직접반사파와 표면파의 시간차 Δt 를 이동거리 z에 대해 점으로 나타내고 최소자승법을 이용해 근사선으로 나타낸 그래프이다. 그림 9는 각 시료에 대한 z- Δt 그래프를 비교한 것이다. 같은 스케일로 나타냈기 때문에 속도에 의한 기울기의 변화를 확인할 수 있고 속도가 클수록 기울기가 크다는 것을 알 수 있다.

[표 1] 탄성표면파 측정치와 이론치의 비교

시료	$\frac{z}{\Delta t}$ [m/s]	측정계산된 표면파속도 [m/s]	이론계산된 표면파속도 [m/s]	오차 [%]
SiO ₂	7.5758×10^3	3428	3430	0.06
Al	5.4734×10^3	2943	2863	2.8
Cu	2.6142×10^3	2120	2139	0.9

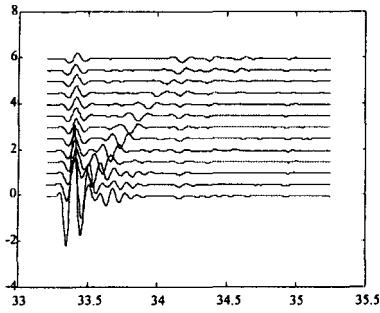


그림 3. SiO₂시료에 대한 defocusing 결과

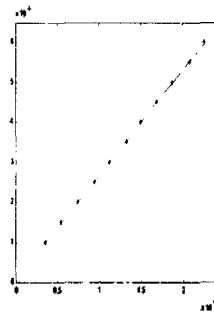


그림 8. Cu시료에 대한 z- Δt 그래프

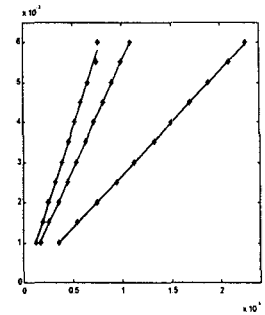


그림 9. 각 시료에 대한 z- Δt 그래프의 비교

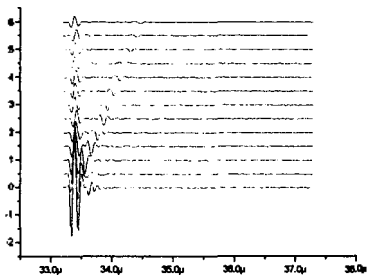


그림 4. Al시료에 대한 defocusing 결과

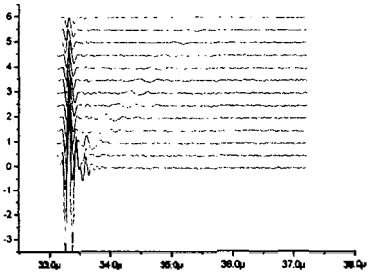


그림 5. Cu시료에 대한 defocusing 결과

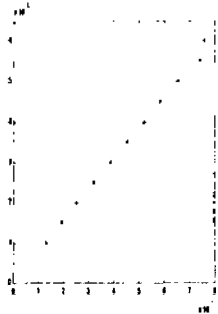


그림 6. SiO₂시료에 대한 z- Δt 그래프

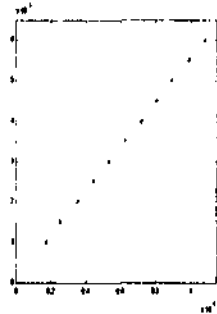


그림 7. Al시료에 대한 z- Δt 그래프

5. 결론

제작된 구리배면체 LFB PVDF 초음파트랜스듀서를 사용하여 몇몇 시료에 대한 LSAW 속도측정을 실시하고, 이론적으로 계산된 결과와 비교하였다. 정확한 탄성계수를 알고있는 SiO₂시료의 경우는 이론치와 오차 0.06%로 매우 정확하게 일치되었으나 탄성계수가 불명확한 Al이나 Cu는 각각 2.8%, 0.9%의 오차가 생겼다. 이방성결정의 LSAW 전파속도에 대해서는 이론적인 해석은 가능하지만 적당한 시료를 얻기가 곤란해서 실험하지 못하였다. 앞으로 이방성결정의 방향에 따른 탄성표면파 측정에 초점을 두고 연구를 계속 수행할 예정이다.

6. 참고문헌

- 1) J. J. Campbell and W. R. Jones, "A Method for Estimating Optimal Crystal Cuts and Propagation Directions for Excitation of Piezoelectric Surface Waves" IEEE Trans. Sonics Ultrason., Vol. SU-15, NO. 4, pp. 209-217, October, 1968.
- 2) R. D. Weglein, "A Model for Predicting Acoustic Material Signatures" Appl. Phys. Lett., Vol. 34, pp. 179-181, 1979.
- 3) W. Parmon and H. I. Bertoni, "Ray Interpretation of the Material Signature in the Acoustic Microscope" Electron. Lett., Vol. 15, pp. 684-686, 1979.
- 4) A. Atalar, "A Physical Model for Acoustic Signatures" J. Appl. Phys., Vol. 50, pp. 8237-9239, 1979.
- 5) J. Kushibiki, N. Chubachi, "Material Characterization by Line-Focus-Beam Acoustic Microscope" IEEE Trans. Sonics Ultrason., Vol. SU-32, No. 2, pp. 189-212, 1985.